

Polarobreathers y el modelo de Peyrard-Bishop-Holstein

Jesús Cuevas Maraver

Grupo de Física No Lineal. Universidad de Sevilla

<http://www.grupo.us.es/gfnl>

<http://www.personal.us.es/jcuevas>

No Lineal 2008. Barcelona, 16 de Junio de 2008



Esquema de la charla

1 Breathers

Esquema de la charla

1 Breathers

2 Polarones

Esquema de la charla

- 1 Breathers
- 2 Polarones
- 3 Polarobreathers

Esquema de la charla

- 1 Breathers
- 2 Polarones
- 3 Polarobreathers
- 4 ¿Aplicaciones biológicas?
 - El modelo de Peyrard–Bishop
 - El modelo de Davydov–Scott

Esquema de la charla

- 1 Breathers
- 2 Polarones
- 3 Polarobreathers
- 4 ¿Aplicaciones biológicas?
 - El modelo de Peyrard–Bishop
 - El modelo de Davydov–Scott
- 5 Conclusiones

Esquema de la charla

- 1 Breathers
- 2 Polarones
- 3 Polarobreathers
- 4 ¿Aplicaciones biológicas?
 - El modelo de Peyrard–Bishop
 - El modelo de Davydov–Scott
- 5 Conclusiones

Redes de osciladores

- En cierto grado de aproximación, la dinámica de un sólido se puede suponer similar a la de una red de osciladores.

Redes de osciladores

- En cierto grado de aproximación, la dinámica de un sólido se puede suponer similar a la de una red de osciladores.
- Interacciones armónicas \rightarrow las perturbaciones se extienden por la red.

Redes de osciladores

- En cierto grado de aproximación, la dinámica de un sólido se puede suponer similar a la de una red de osciladores.
- Interacciones armónicas \rightarrow las perturbaciones se extienden por la red.
- Modos de vibración no localizados \leftrightarrow fonones.

Redes de osciladores no lineales

- Interacciones anarmónicas \rightarrow las perturbaciones se pueden localizar.

Redes de osciladores no lineales

- Interacciones anarmónicas \rightarrow las perturbaciones se pueden localizar.
- Coexisten modos de vibración localizados y no localizados.

Redes de osciladores no lineales

- Interacciones anarmónicas \rightarrow las perturbaciones se pueden localizar.
- Coexisten modos de vibración localizados y no localizados.
- Modos de vibración localizados \leftrightarrow breathers (discretos).



La ecuación de Klein–Gordon no lineal discreta

- Los breathers discretos son solución de la ecuación de Klein–Gordon no lineal

$$\ddot{u}_n + V'(u_n) + k(2u_n - u_{n-1} - u_{n+1}) = 0$$

- Consideramos el caso 1-d con potencial de interacción lineal a primeros vecinos.
- $V(u_n)$: Potencial on-site (o substrato). k : Constante de acoplo.



La ecuación de Klein–Gordon no lineal discreta

- Los breathers discretos son solución de la ecuación de Klein–Gordon no lineal

$$\ddot{u}_n + V'(u_n) + k(2u_n - u_{n-1} - u_{n+1}) = 0$$

- Consideramos el caso 1-d con potencial de interacción lineal a primeros vecinos.
- $V(u_n)$: Potencial on-site (o substrato). k : Constante de acoplo.
- Breathers \rightarrow Soluciones periódicas \rightarrow Serie de Fourier



La ecuación de Klein–Gordon no lineal discreta

- Los breathers discretos son solución de la ecuación de Klein–Gordon no lineal

$$\ddot{u}_n + V'(u_n) + k(2u_n - u_{n-1} - u_{n+1}) = 0$$

- Consideramos el caso 1-d con potencial de interacción lineal a primeros vecinos.
- $V(u_n)$: Potencial on-site (o sustrato). k : Constante de acoplo.
- Breathers \rightarrow Soluciones periódicas \rightarrow Serie de Fourier

$$u_n(t) = \sum_k z_n^k \cos(k\omega_b t)$$

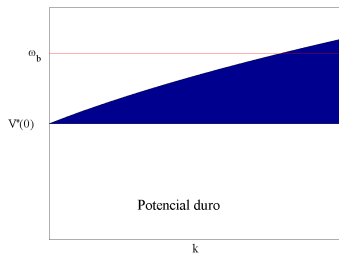
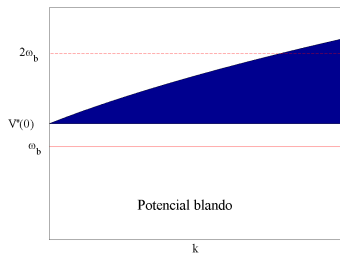


La ecuación de Klein–Gordon no lineal discreta

- Los breathers discretos son solución de la ecuación de Klein–Gordon no lineal
- Consideramos el caso 1-d con potencial de interacción lineal a primeros vecinos.
- $V(u_n)$: Potencial on-site (o substrato). k : Constante de acoplo.
- Breathers \rightarrow Soluciones periódicas \rightarrow Serie de Fourier

Existencia de breathers

- Pueden existir breathers discretos en la ecuación anterior si se cumple [R.S. MacKay and S. Aubry. *Nonlinearity* 7 (1994) 1263]:
 - El potencial on-site es anarmónico.
 - Ningún múltiplo entero de ω_b coincide con la banda de fonones.



La ecuación DNLS

- También existen breathers en la ecuación de Schrödinger No Lineal Discreta:

$$i\dot{u}_n + |u_n|^2 u_n + J(u_{n+1} + u_{n-1}) = 0$$

La ecuación DNLS

- También existen breathers en la ecuación de Schrödinger No Lineal Discreta:

$$i\dot{u}_n + |u_n|^2 u_n + J(u_{n+1} + u_{n-1}) = 0$$

- Breathers \rightarrow Series de Fourier con un sólo armónico (solitones discretos):

$$u_n(t) = z_n \exp(i\omega_b t)$$

La ecuación DNLS

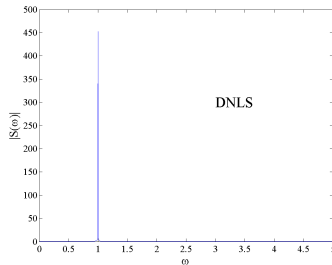
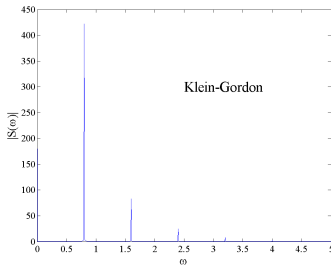
- También existen breathers en la ecuación de Schrödinger No Lineal Discreta:

$$i\ddot{u}_n + |u_n|^2 u_n + J(u_{n+1} + u_{n-1}) = 0$$

- Breathers \rightarrow Series de Fourier con un sólo armónico (solitones discretos):

$$u_n(t) = z_n \exp(i\omega_b t)$$

- Espectros de Fourier:



Esquema de la charla

- 1 Breathers
- 2 Polarones
- 3 Polarobreathers
- 4 ¿Aplicaciones biológicas?
 - El modelo de Peyrard–Bishop
 - El modelo de Davydov–Scott
- 5 Conclusiones

Definición de polarón

- Un electrón (hueco) libre penetra en el seno de un dieléctrico (cristal iónico, polímero):

Definición de polarón

- Un electrón (hueco) libre penetra en el seno de un dieléctrico (cristal iónico, polímero):
 - Los iones se mueven debido a la interacción coulombiana → Deformación (polarización) de la red.

Definición de polarón

- Un electrón (hueco) libre penetra en el seno de un dieléctrico (cristal iónico, polímero):
 - Los iones se mueven debido a la interacción coulombiana → Deformación (polarización) de la red.
 - Los iones desplazados producen un campo eléctrico que *autolocaliza* al electrón (hueco).

Definición de polarón

- Un electrón (hueco) libre penetra en el seno de un dieléctrico (cristal iónico, polímero):
 - Los iones se mueven debido a la interacción coulombiana → Deformación (polarización) de la red.
 - Los iones desplazados producen un campo eléctrico que *autolocaliza* al electrón (hueco).
 - Polarón ↔ Electrón (hueco) + campo de deformación (polarización).

Definición de polarón

- Un electrón (hueco) libre penetra en el seno de un dieléctrico (cristal iónico, polímero):
 - Los iones se mueven debido a la interacción coulombiana \rightarrow Deformación (polarización) de la red.
 - Los iones desplazados producen un campo eléctrico que *autolocaliza* al electrón (hueco).
 - Polarón \leftrightarrow Electrón (hueco) + campo de deformación (polarización).
 - El polarón es una cuasi-partícula que surge por la interacción electrón-fonón [Landau, Pekar].

Definición de polarón

- Un electrón (hueco) libre penetra en el seno de un dieléctrico (cristal iónico, polímero):
 - Los iones se mueven debido a la interacción coulombiana \rightarrow Deformación (polarización) de la red.
 - Los iones desplazados producen un campo eléctrico que *autolocaliza* al electrón (hueco).
 - Polarón \leftrightarrow Electrón (hueco) + campo de deformación (polarización).
 - El polarón es una cuasi-partícula que surge por la interacción electrón-fonón [Landau, Pekar].
- Aumento de conductividad eléctrica. Campo eléctrico \rightarrow Conducción por polarones (el electrón arrastra la deformación de la red).

Definición de polarón

- Un electrón (hueco) libre penetra en el seno de un dieléctrico (cristal iónico, polímero):
 - Los iones se mueven debido a la interacción coulombiana → Deformación (polarización) de la red.
 - Los iones desplazados producen un campo eléctrico que *autolocaliza* al electrón (hueco).
 - Polarón \leftrightarrow Electrón (hueco) + campo de deformación (polarización).
 - El polarón es una cuasi-partícula que surge por la interacción electrón-fonón [Landau, Pekar].
- Aumento de conductividad eléctrica. Campo eléctrico → Conducción por polarones (el electrón arrastra la deformación de la red).
- En general, un polarón describe a una partícula cuántica (electrón, hueco, excitón, vibrón) interaccionando con un entorno bosónico.

Tipos de polarones

- Polarón de Fröhlich:
 - Llamado también polarón de gran radio.
 - La interacción entre el electrón y la red es débil.
 - El tamaño de la región polarizada es mucho mayor que la celda unidad.
 - La red puede considerarse un continuo polarizado.

Tipos de polarones

- Polarón de Fröhlich:
 - Llamado también polarón de gran radio.
 - La interacción entre el electrón y la red es débil.
 - El tamaño de la región polarizada es mucho mayor que la celda unidad.
 - La red puede considerarse un continuo polarizado.
- Polarón de Holstein:
 - Llamado también polarón de radio pequeño.
 - La interacción entre el electrón y la red es fuerte.
 - El tamaño de la región polarizada es del orden de la celda unidad.
 - La red no puede aproximarse por un continuo.
 - Conducción por saltos (temperatura alta) o efecto túnel (temperatura baja).

Tipos de polarones

- Polarón de Fröhlich:
 - Llamado también polarón de gran radio.
 - La interacción entre el electrón y la red es débil.
 - El tamaño de la región polarizada es mucho mayor que la celda unidad.
 - La red puede considerarse un continuo polarizado.
- Polarón de Holstein:
 - Llamado también polarón de radio pequeño.
 - La interacción entre el electrón y la red es fuerte.
 - El tamaño de la región polarizada es del orden de la celda unidad.
 - La red no puede aproximarse por un continuo.
 - Conducción por saltos (temperatura alta) o efecto túnel (temperatura baja).

Modelo de Holstein anarmónico: Polarones

- Ecuaciones dinámicas para un modelo anarmónico [[M.A. Fuentes *et al.* PRE 70 \(2004\) 025601\(R\)](#)]:

$$i\dot{\Psi}_n = -J(\Psi_{n+1} + \Psi_{n-1}) + \chi u_n \Psi_n$$

$$\ddot{u}_n + V'(u_n) + k(2u_n - u_{n+1} - u_{n-1}) = -\chi |\Psi_n|^2$$

(Ecuación DNLS+Klein–Gordon)

Modelo de Holstein anarmónico: Polarones

- Ecuaciones dinámicas para un modelo anarmónico [[M.A. Fuentes et al. PRE 70 \(2004\) 025601\(R\)](#)]:

$$i\dot{\Psi}_n = -J(\Psi_{n+1} + \Psi_{n-1}) + \chi u_n \Psi_n$$

$$\ddot{u}_n + V'(u_n) + k(2u_n - u_{n+1} - u_{n-1}) = -\chi |\Psi_n|^2$$

(Ecuación DNLS+Klein–Gordon)

- Se obtiene mediante una aproximación semiclásica:
 - Tratamiento cuántico para el electrón y clásico para los fonones.
 - Válida para χ o J altos (gran número de fonones excitados).



Modelo de Holstein anarmónico: Polarones

- Ecuaciones dinámicas para un modelo anarmónico [[M.A. Fuentes et al. PRE 70 \(2004\) 025601\(R\)](#)]:

$$i\dot{\Psi}_n = -J(\Psi_{n+1} + \Psi_{n-1}) + \chi u_n \Psi_n$$

$$\ddot{u}_n + V'(u_n) + k(2u_n - u_{n+1} - u_{n-1}) = -\chi |\Psi_n|^2$$

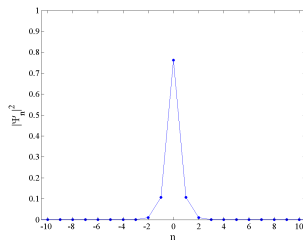
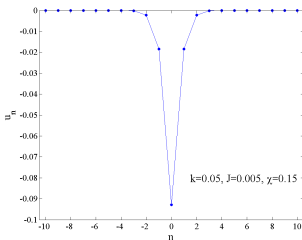
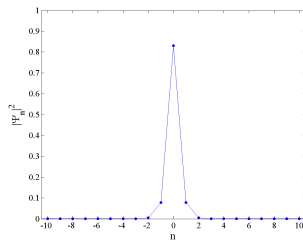
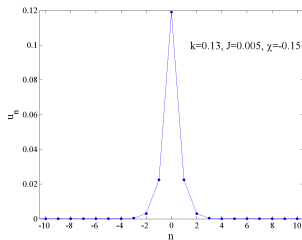
(Ecuación DNLS+Klein-Gordon)

- Se obtiene mediante una aproximación semiclásica:
 - Tratamiento cuántico para el electrón y clásico para los fonones.
 - Válida para χ o J altos (gran número de fonones excitados).
- Soluciones estacionarias (polarones):

$$\Psi_n(t) = \phi_n \exp(i\omega_e t), \quad \dot{u}_n = \ddot{u}_n = 0.$$

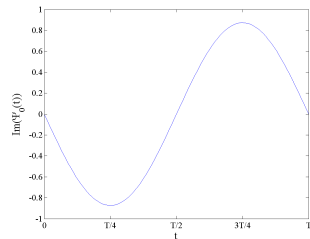
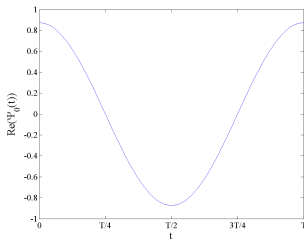
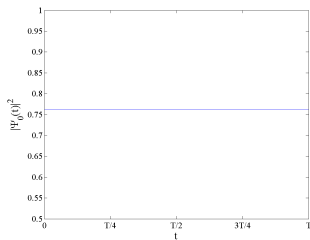
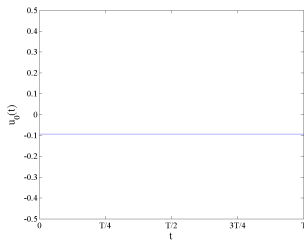
Modelo de Holstein anarmónico: Polarones

- Perfiles con potencial on-site de Morse:



Modelo de Holstein anarmónico: Polarones

- Evolución temporal de la partícula central ($T = 2\pi/\omega_e$):



Esquema de la charla

- 1 Breathers
- 2 Polarones
- 3 Polarobreathers**
- 4 ¿Aplicaciones biológicas?
 - El modelo de Peyrard–Bishop
 - El modelo de Davydov–Scott
- 5 Conclusiones

Modelo de Holstein anarmónico: Polarobreathers

- Polarobreather \rightarrow Estado ligado entre electrón y breather (en lugar de fonón) [S. Aubry. *Physica D* 103 (1997) 201].

Modelo de Holstein anarmónico: Polarobreathers

- Polarobreather \rightarrow Estado ligado entre electrón y breather (en lugar de fonón) [S. Aubry. *Physica D* 103 (1997) 201].
- La frecuencia de vibración electrónica (ω_e) es diferente de la del breather (ω_b).

Modelo de Holstein anarmónico: Polarobreathers

- Polarobreather \rightarrow Estado ligado entre electrón y breather (en lugar de fonón) [S. Aubry. *Physica D* 103 (1997) 201].
- La frecuencia de vibración electrónica (ω_e) es diferente de la del breather (ω_b).
- Existe siempre que ningún múltiplo entero de ω_b coincida con la de los modos normales.

Modelo de Holstein anarmónico: Polarobreathers

- Polarobreather \rightarrow Estado ligado entre electrón y breather (en lugar de fonón) [S. Aubry. *Physica D* 103 (1997) 201].
- La frecuencia de vibración electrónica (ω_e) es diferente de la del breather (ω_b).
- Existe siempre que ningún múltiplo entero de ω_b coincida con la de los modos normales.
- En general, para que existan los polarobreathers, los acoplamientos k, J deben ser pequeños (polaron de Holstein).

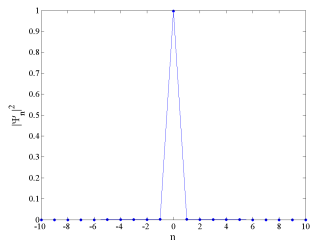
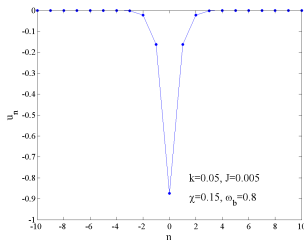
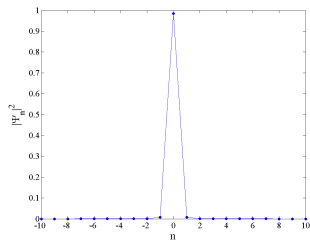
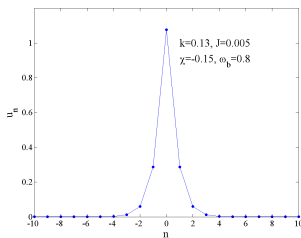


Modelo de Holstein anarmónico: Polarobreathers

- Polarobreather \rightarrow Estado ligado entre electrón y breather (en lugar de fonón) [S. Aubry. *Physica D* 103 (1997) 201].
- La frecuencia de vibración electrónica (ω_e) es diferente de la del breather (ω_b).
- Existe siempre que ningún múltiplo entero de ω_b coincida con la de los modos normales.
- En general, para que existan los polarobreathers, los acoplamientos k, J deben ser pequeños (polaron de Holstein).
- Espectros de Fourier:
 - Polarón \rightarrow Un sólo armónico. Como breather en DNLS.
 - Polarobreather \rightarrow Varios armónicos. Como breather en Klein–Gordon.

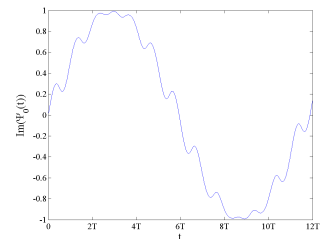
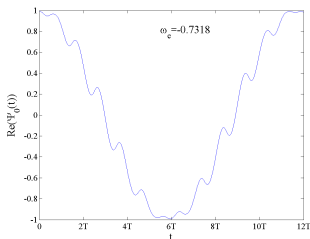
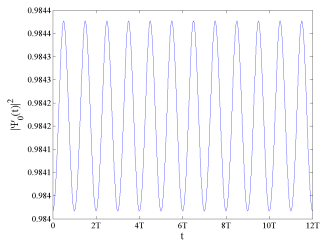
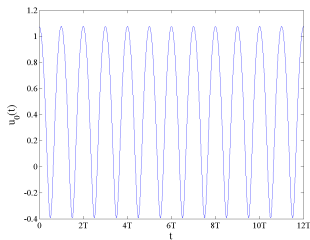
Modelo de Holstein anarmónico: Polarobreathers

- Perfiles con potencial de Morse:



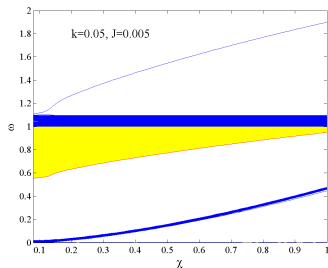
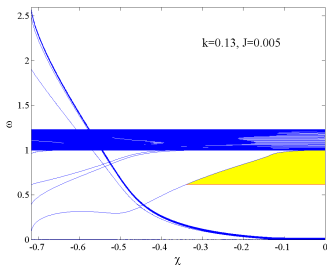
Modelo de Holstein anarmónico: Polarobreaters

- Evolución temporal de la partícula central ($T = 2\pi/\omega_b$):



Modelo de Holstein anarmónico: Polarobreathers

- Rango de existencia [J. Cuevas, P.G. Kevrekidis, D.J. Frantzeskakis, A.R. Bishop. PRB 74 (2006) 064304]:



- Para $\chi < 0$, el rango de existencia se infiere del diagrama de modos normales. Los polarobreathers son estables.
- Para $\chi > 0$, existen bifurcaciones que restringen el rango de existencia. Los polarobreatthes no son siempre estables.

Polarobreather vs polarón



Esquema de la charla

- 1 Breathers
- 2 Polarones
- 3 Polarobreathers
- 4 ¿Aplicaciones biológicas?**
 - El modelo de Peyrard–Bishop
 - El modelo de Davydov–Scott
- 5 Conclusiones

Esquema de la charla

- 1 Breathers
- 2 Polarones
- 3 Polarobreathers
- 4 ¿Aplicaciones biológicas?
 - El modelo de Peyrard–Bishop
 - El modelo de Davydov–Scott
- 5 Conclusiones

El modelo de Peyrard–Bishop (ADN)

- Se introdujo para el estudio de la desnaturalización del ADN [M. Peyrard, A.R. Bishop. PRL 62 (1989) 2755].

$$m\ddot{u}_n + V'(u_n) + k(2u_n - u_{n+1} - u_{n-1}) = 0$$

- u_n representan aperturas de la doble hélice, unidas por puentes de Hidrógeno.
- $V(u) = D(\exp(-bu) - 1)$: potencial de Morse (puentes de H).
- Breathers \rightarrow responsables de la formación de burbujas; precursoras de desnaturalización.

El modelo de Peyrard–Bishop–Holstein

- Evidencia experimental de conducción eléctrica en ADN. [[B. Giese *et al.* Nature 412 \(2001\) 318](#)]



El modelo de Peyrard–Bishop–Holstein

- Evidencia experimental de conducción eléctrica en ADN. [B. Giese *et al.* [Nature](#) 412 (2001) 318]
- Hipótesis: Conducción debida a la existencia de polarones.

El modelo de Peyrard–Bishop–Holstein

- Evidencia experimental de conducción eléctrica en ADN. [B. Giese *et al.* [Nature 412 \(2001\) 318](#)]
- Hipótesis: Conducción debida a la existencia de polarones.
- Modelo para polarones en ADN → Peyrard–Bishop–Holstein.

$$\begin{aligned}i\hbar\dot{\Psi}_n &= -J(\Psi_{n+1} + \Psi_{n-1}) + \chi u_n \Psi_n \\ m\ddot{u}_n + V'(u_n) + k(2u_n - u_{n+1} - u_{n-1}) &= -\chi|\Psi_n|^2\end{aligned}$$

El modelo de Peyrard–Bishop–Holstein

- Evidencia experimental de conducción eléctrica en ADN. [B. Giese *et al.* *Nature* 412 (2001) 318]
- Hipótesis: Conducción debida a la existencia de polarones.
- Modelo para polarones en ADN → Peyrard–Bishop–Holstein.
- Cálculos químico-cuánticos: [D. Hennig, E.B. Starikov, J.F.R. Archilla, F. Palmero. *JBP* 30 (2004) 227]
 - En cadenas poly(dG)-poly(dC): $\chi = -0,090 \text{ eV}/\text{Å}$
 - En cadenas poly(dA)-poly(dT): $\chi = 0,078 \text{ eV}/\text{Å}$
- Otros parámetros: $m = 300 \text{ uma}$; $D = 0,04 \text{ eV}$; $b = 4,45 \text{ Å}^{-1}$; $J = 0,1 \text{ eV}$; $k = 0,04 \text{ eV}/\text{Å}^2$. [P. Maniadis, G. Kalosakas, K.Ø. Rasmussen, A.R. Bishop. *PRB* 68 (2003) 174304]

El modelo de Peyrard–Bishop–Holstein

- Evidencia experimental de conducción eléctrica en ADN. [B. Giese *et al.* *Nature* 412 (2001) 318]
- Hipótesis: Conducción debida a la existencia de polarones.
- Modelo para polarones en ADN → Peyrard–Bishop–Holstein.
- Cálculos químico-cuánticos: [D. Hennig, E.B. Starikov, J.F.R. Archilla, F. Palmero. *JBP* 30 (2004) 227]
 - En cadenas poly(dG)-poly(dC): $\chi = -0,090 \text{ eV}/\text{Å}$
 - En cadenas poly(dA)-poly(dT): $\chi = 0,078 \text{ eV}/\text{Å}$
- Otros parámetros: $m = 300 \text{ uma}$; $D = 0,04 \text{ eV}$; $b = 4,45 \text{ Å}^{-1}$; $J = 0,1 \text{ eV}$; $k = 0,04 \text{ eV}/\text{Å}^2$. [P. Maniadis, G. Kalosakas, K.Ø. Rasmussen, A.R. Bishop. *PRB* 68 (2003) 174304]
- Con estos valores, $J \gg, \chi \gg \rightarrow$ polarón de Fröhlich \rightarrow Aproximación continua \rightarrow Polarobreathers poco probables.

Esquema de la charla

- 1 Breathers
- 2 Polarones
- 3 Polarobreathers
- 4 ¿Aplicaciones biológicas?**
 - El modelo de Peyrard–Bishop
 - El modelo de Davydov–Scott
- 5 Conclusiones

El modelo de Davydov–Scott (proteínas)

- Modelo introducido para el estudio de cambios conformacionales en proteínas.

El modelo de Davydov–Scott (proteínas)

- Modelo introducido para el estudio de cambios conformacionales en proteínas.
- Esqueleto de hélices α de proteínas:



El modelo de Davydov–Scott (proteínas)

- Modelo introducido para el estudio de cambios conformacionales en proteínas.
- Esqueleto de hélices α de proteínas:



- Ideas del modelo de Davydov [[A.C. Scott. Phys. Rep. 217 \(1992\) 1](#)]:

El modelo de Davydov–Scott (proteínas)

- Modelo introducido para el estudio de cambios conformacionales en proteínas.
- Esqueleto de hélices α de proteínas:



- Ideas del modelo de Davydov [[A.C. Scott. Phys. Rep. 217 \(1992\) 1](#)]:
 - Se crea un excitón en el grupo amido $C = O$ (hidrólisis de ATP, medicamento).

El modelo de Davydov–Scott (proteínas)

- Modelo introducido para el estudio de cambios conformacionales en proteínas.
- Esqueleto de hélices α de proteínas:



- Ideas del modelo de Davydov [A.C. Scott. *Phys. Rep.* 217 (1992) 1]:
 - Se crea un excitón en el grupo amido I $C = O$ (hidrólisis de ATP, medicamento).
 - Los grupos amido excitados interactúan con los puentes de hidrógeno \dots .

El modelo de Davydov–Scott (proteínas)

- Modelo introducido para el estudio de cambios conformacionales en proteínas.
- Esqueleto de hélices α de proteínas:



- Ideas del modelo de Davydov [[A.C. Scott. Phys. Rep. 217 \(1992\) 1](#)]:
 - Se crea un excitón en el grupo amido I $C = O$ (hidrólisis de ATP, medicamento).
 - Los grupos amido excitados interactúan con los puentes de hidrógeno \dots .
 - Solitón de Davydov: Excitón + distorsión puentes de hidrógeno. \rightarrow Polarón

El modelo de Davydov–Scott (proteínas)

- Modelo introducido para el estudio de cambios conformacionales en proteínas.
- Esqueleto de hélices α de proteínas:



- Ideas del modelo de Davydov [A.C. Scott. *Phys. Rep.* 217 (1992) 1]:
 - Se crea un excitón en el grupo amido I $C = O$ (hidrólisis de ATP, medicamento).
 - Los grupos amido excitados interactúan con los puentes de hidrógeno \dots .
 - Solitón de Davydov: Excitón + distorsión puentes de hidrógeno. \rightarrow Polarón
- A diferencia del modelo de Holstein, el espectro de modos lineales es acústico, por lo que no pueden existir polarobreathers.

Esquema de la charla

- 1 Breathers
- 2 Polarones
- 3 Polarobreathers
- 4 ¿Aplicaciones biológicas?
 - El modelo de Peyrard–Bishop
 - El modelo de Davydov–Scott
- 5 Conclusiones

Conclusiones

- Polarones \rightarrow Estados ligados excitón + fonón

Conclusiones

- Polarones \rightarrow Estados ligados excitón + fonón
- Polarobreathers \rightarrow Estados ligados excitón + breather

Conclusiones

- Polarones \rightarrow Estados ligados excitón + fonón
- Polarobreathers \rightarrow Estados ligados excitón + breather
 - Existen si ningún múltiplo entero de la frecuencia del polarobreather coincide con las frecuencias de los modos lineales.

Conclusiones

- Polarones \rightarrow Estados ligados excitón + fonón
- Polarobreathers \rightarrow Estados ligados excitón + breather
 - Existen si ningún múltiplo entero de la frecuencia del polarobreather coincide con las frecuencias de los modos lineales.
 - Son estables si la constante de acoplo excitón-red es negativa.

Conclusiones

- Polarones \rightarrow Estados ligados excitón + fonón
- Polarobreathers \rightarrow Estados ligados excitón + breather
 - Existen si ningún múltiplo entero de la frecuencia del polarobreather coincide con las frecuencias de los modos lineales.
 - Son estables si la constante de acoplo excitón-red es negativa.
 - El espectro de Fourier de u_n y $|\Psi_n|^2$ muestra varios picos correspondientes a cada uno de los armónicos.

Conclusiones

- Polarones \rightarrow Estados ligados excitón + fonón
- Polarobreathers \rightarrow Estados ligados excitón + breather
 - Existen si ningún múltiplo entero de la frecuencia del polarobreather coincide con las frecuencias de los modos lineales.
 - Son estables si la constante de acoplo excitón-red es negativa.
 - El espectro de Fourier de u_n y $|\Psi_n|^2$ muestra varios picos correspondientes a cada uno de los armónicos.
- Los polarobreathers podrían existir en el modelo de Peyrard-Bishop-Holstein para el ADN (aunque con parámetros no realistas).

Conclusiones

- Polarones \rightarrow Estados ligados excitón + fonón
- Polarobreathers \rightarrow Estados ligados excitón + breather
 - Existen si ningún múltiplo entero de la frecuencia del polarobreather coincide con las frecuencias de los modos lineales.
 - Son estables si la constante de acoplo excitón-red es negativa.
 - El espectro de Fourier de u_n y $|\Psi_n|^2$ muestra varios picos correspondientes a cada uno de los armónicos.
- Los polarobreathers podrían existir en el modelo de Peyrard-Bishop-Holstein para el ADN (aunque con parámetros no realistas).
- Los polarobreathers no pueden existir en el modelo de Davydov-Scott para proteínas.

Estudios futuros

- Potencial de Morse on-site y $\chi > 0 \leftrightarrow$ Bifurcaciones y la estabilidad de polarobreaters

Estudios futuros

- Potencial de Morse on-site y $\chi > 0 \leftrightarrow$ Bifurcaciones y la estabilidad de polarobreaters
- Otros potenciales on-site (ϕ^4 duro y blando, sine-Gordon).

Estudios futuros

- Potencial de Morse on-site y $\chi > 0 \leftrightarrow$ Bifurcaciones y la estabilidad de polarobreaters
- Otros potenciales on-site (ϕ^4 duro y blando, sine-Gordon).
- Existencia de polarobreaters en el modelo de Peyrard–Bishop–Dauxois–Holstein:

$$W(u_n, u_{n-1}) = \frac{k}{2} \left[1 + \rho e^{-\beta(u_n + u_{n-1})} \right] (u_n - u_{n-1})^2$$

Estudios futuros

- Potencial de Morse on-site y $\chi > 0 \leftrightarrow$ Bifurcaciones y la estabilidad de polarobreathers
- Otros potenciales on-site (ϕ^4 duro y blando, sine-Gordon).
- Existencia de polarobreathers en el modelo de Peyrard–Bishop–Dauxois–Holstein:

$$W(u_n, u_{n-1}) = \frac{k}{2} \left[1 + \rho e^{-\beta(u_n + u_{n-1})} \right] (u_n - u_{n-1})^2$$

- Polarobreathers en acetinilida (ACN)

Estudios futuros

- Potencial de Morse on-site y $\chi > 0 \leftrightarrow$ Bifurcaciones y la estabilidad de polarobreaters
- Otros potenciales on-site (ϕ^4 duro y blando, sine-Gordon).
- Existencia de polarobreaters en el modelo de Peyrard–Bishop–Dauxois–Holstein:

$$W(u_n, u_{n-1}) = \frac{k}{2} \left[1 + \rho e^{-\beta(u_n + u_{n-1})} \right] (u_n - u_{n-1})^2$$

- Polarobreaters en acetinilida (ACN)
 - Polímero con estructura similar a proteínas

Estudios futuros

- Potencial de Morse on-site y $\chi > 0 \leftrightarrow$ Bifurcaciones y la estabilidad de polarobreaters
- Otros potenciales on-site (ϕ^4 duro y blando, sine-Gordon).
- Existencia de polarobreaters en el modelo de Peyrard–Bishop–Dauxois–Holstein:

$$W(u_n, u_{n-1}) = \frac{k}{2} \left[1 + \rho e^{-\beta(u_n + u_{n-1})} \right] (u_n - u_{n-1})^2$$

- Polarobreaters en acetinilida (ACN)
 - Polímero con estructura similar a proteínas
 - Fonones ópticos \rightarrow Pueden existir polarobreaters



Gracias por su atención

Localized Excitations in Nonlinear Complex Systems (LENCOS)

Sevilla, 14-17 de Julio de 2009

<http://aleph.eii.us.es/LENCOS>

